

高等學校教材

脉冲技术

上册

徐則琨等編

人民教育出版社

高等学校教材



脉冲技术

上册

徐则琨等编

人民教育出版社

脉冲技术

上册

徐则琨等编

北京市书刊出版业营业登记证字第2号
人民教育出版社出版(北京景山东街)
人民教育印刷厂印装
新华书店北京发行所发行
各地新华书店经售

统一书号：K10010·1079 开本 850×1168 1/32 印张 24 5/16
字数 375,000 印数 22,501—25,000 定价(7) 1.00
1961年9月第1版 1964年11月北京第7次印刷

序

本书系根据我們為計算技术与裝置专业讲授的“脉冲技术”課讲义改編而成的，分上下册出版，共包括二十二章。上册包括第一章至第十四章，其中前十三章为电子管脉冲技术部分，第十四章为毫微秒脉冲技术部分；下册包括第十五章至第二十二章，均为晶体管脉冲技术部分。

编写本书时，主要参考了 J. A. 米耶罗維奇、J. T. 杰里欽科著的“脉冲技术”等书。参加本书编写工作的有徐則琨（第四、五、八、九、十一、十二、十三、十五、二十章），吳純園（第一、十、十四、十六、十八章），迂桂芬（第六章），于寶貴（第七章），胡德河（第二章）和賈超（第十九章）等同志。第十七、二十一、二十二等三章选自西安交通大学“晶体管脉冲技术”讲义，第三章选自北京工业学院无线电系 1958 年“脉冲技术”讲义。本书在前几次印刷时原以“徐飞”的名义发表，自这次重印时起改用“徐則琨等”的名义。

由于編者业务水平所限，且經驗不足，缺点和錯誤之处在所难免，我們誠懇地希望讀者多提意見，以便改正。

編 者

1963年4月

目 录

序	vi
緒言	1
§ 0-1. 脉冲工作状态和它的特点	1
§ 0-2. 脉冲的形状	3
§ 0-3. 脉冲技术研究的对象和应用	5
第一章 脉冲过程的数学分析方法	7
§ 1-1. 傅氏級數和傅氏积分	8
§ 1-2. 若干脉冲信号的頻譜特性	13
§ 1-3. 線性网络的频率特性	17
§ 1-4. 脉冲波形通过線性网络的畸变	19
§ 1-5. 拉氏变换	23
§ 1-6. 用运算方法分析过渡过程	29
§ 1-7. 叠加积分	35
第二章 脉冲放大	38
§ 2-1. 脉冲放大器的特点	38
§ 2-2. 具有补偿元件的基本线路	44
§ 2-3. 脉冲放大器的高頻补偿	45
§ 2-4. 脉冲放大器的低頻补偿	54
§ 2-5. 脉冲放大器的安装和检验	61
§ 2-6. 阴极跟随器	64
第三章 削波器(限幅器)	76
§ 3-1. 削波器的用途	76
§ 3-2. 削波器的种类	78
§ 3-3. 寄生电容的有害影响	88
§ 3-4. 定位器	90
第四章 电容微分电路	100
§ 4-1. 一般概念	100
§ 4-2. 有限的边沿持续时间对脉冲形状和大小的影响	103
§ 4-3. 寄生參量对微分电路的影响	108
§ 4-4. 脉冲形状的計算	114
§ 4-5. 微分回路参数的选择	117
§ 4-6. 电容微分电路的計算举例	120

第五章 用振荡回路形成脉冲	129
§ 5-1. 引言	129
§ 5-2. 振荡回路的基本线路	130
§ 5-3. 振荡回路的微分方程式	133
§ 5-4. 标准标志脉冲的获得	136
§ 5-5. 尖顶脉冲的获得	141
§ 5-6. 用冲击振荡回路作为整形元件	143
§ 5-7. 矩形脉冲的获得	143
§ 5-8. 用振荡回路形成脉冲计算举例	148
第六章 延迟线	152
§ 6-1. 长线	153
§ 6-2. 四端网络	165
§ 6-3. 延时网络节——延迟线	172
§ 6-4. 用延迟线及二端网络形成脉冲	184
§ 6-5. 具有分布参数的延迟线	190
第七章 触发器	193
§ 7-1. 引言	195
§ 7-2. 触发器的工作原理	196
§ 7-3. 具有正反馈电阻耦合放大器的触发特性分析	203
§ 7-4. 触发方式	206
§ 7-5. 线路参数的影响	211
§ 7-6. 转换过程及加速转换过程的几个方法	214
§ 7-7. 阴极耦合回路	226
§ 7-8. 触发器的设计	229
第八章 单稳态触发器	236
§ 8-1. 单稳态触发器的工作原理	236
§ 8-2. 电阻耦合单稳态触发电路	240
§ 8-3. 阴极耦合单稳态触发电路	247
§ 8-4. 电容耦合单稳态触发电路	254
§ 8-5. 具有正偏压的单稳态触发电路	258
§ 8-6. 工作时间宽度的调节	261
§ 8-7. 单稳态触发电路的触发方法	262
§ 8-8. 单稳态触发电路在电子计算机中应用举例	263
§ 8-9. 单稳态触发电路计算举例	265
第九章 自激多谐振荡器	274
§ 9-1. 引言	274
§ 9-2. 自激多谐振荡器的工作原理	274

§ 9-3. 多谐振荡器自激振荡过程的研究	277
§ 9-4. 具有正偏压的自激多谐振荡器	282
§ 9-5. 负载对自激振荡器工作的影响以及工作状态的选择	284
§ 9-6. 脉冲宽度的稳定性	286
§ 9-7. 自激多谐振荡器设计举例	290
第十章 脉冲变压器和间歇振荡器	297
§ 10-1. 脉冲变压器和它的等效线路	297
§ 10-2. 传递脉冲的畸变	304
§ 10-3. 间歇振荡器的基本原理	309
§ 10-4. 间歇振荡器工作过程的分析	314
§ 10-5. 间歇振荡器的一些线路和特点	326
第十一章 弛张振荡器的同步和脉冲的分频	334
§ 11-1. 噪音	334
§ 11-2. 短脉冲的同步	334
§ 11-3. 矩形脉冲的同步	338
§ 11-4. 正弦电压的同步	340
§ 11-5. 同步范围研究的结论和修正	344
§ 11-6. 分频器	345
第十二章 锯齿电压波	355
§ 12-1. 积分电路的概念	355
§ 12-2. 直线变化电压的基本参数	357
§ 12-3. 获得直线变化电压的方法	360
§ 12-4. 直线变化电压产生的线路	368
第十三章 脉冲的调制和解调	377
§ 13-1. 脉冲调制的种类	377
§ 13-2. 脉冲的幅度的调制和解调	379
§ 13-3. 脉冲的调宽和解调	386
§ 13-4. 脉冲的调相和解调	402
第十四章 毫微秒脉冲技术	409
§ 14-1. 阻容线路的脉冲发生器	409
§ 14-2. 电感反馈的脉冲发生器	417
§ 14-3. 延后反馈的脉冲发生器	422
§ 14-4. 用放电长线形成脉冲	430
§ 14-5. 分布参数放大器	438
§ 14-6. 脉冲的变换	445
§ 14-7. 脉冲示波器	447

緒 言

§ 0-1. 脉冲工作状态和它的特点

近代的許多无线电装置和数字计算机是在脉冲状态下工作的。这些装置中的电压和电流，不是連續作用的，而是断續作用的。对于連續作用的装置来讲，在接入电压以后到断开电源之前，中間这一段稳态过程是这些装置工作的时间，而接入电压和切除电压时所发生的过渡过程，不是这些装置有效的工作时间。对于間断工作的装置，电压的反复接入和切除，过渡过程的反复进行，是正常工作的状态。由于电压反复接入、切断而形成的电压和电流的間断性称为脉冲电压和脉冲电流。

在无线电技术和計算装置中，脉冲电压和电流，按一定的规律組成脉冲信号。例如：图 0-1, a 所示是雷达系统中的脉冲信号，它由两个脉冲組成，两个脉冲的間隔 T_b 和雷达站到捕获目标的距离成正比。图 0-1, b 是无线电通訊或遙控裝置采用的脉冲信号，信号所传递的信息，由脉冲的排列，也就是時間間隔 T_1, T_2 等来决定。

图 0-1, c 所示是数字计算机中采用的

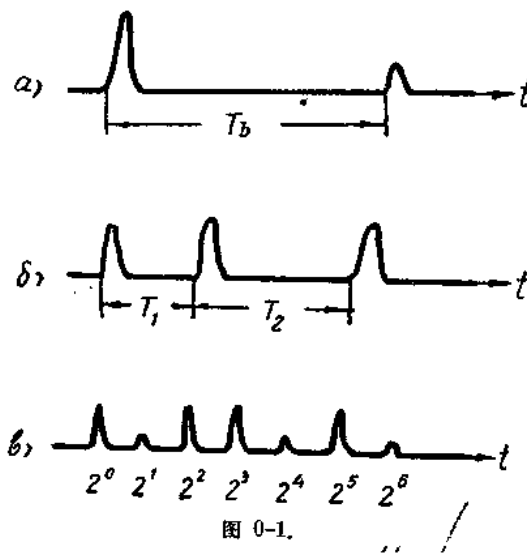


图 0-1.

脉冲信号，它表示一个二进位的数碼。图中所示的数碼是：

$$N = 1 \times 2^0 + 0 \times 2^1 + 1 \times 2^2 + 1 \times 2^3 + 0 \times 2^4 + 1 \times 2^5 + 0 \times 2^6 \\ = 1 + 0 + 4 + 8 + 0 + 32 + 0 = 45.$$

在一般情况下，脉冲工作状态是处理一定形状的脉冲序列，序列按着一定规律組合。在特殊情况下，脉冲以一定的時間間隔重复出现(图0-2)。

在图 0-2 中： T_n 为脉冲的重复周期；

T_u 为脉冲間隔宽度；

t_u 为脉冲宽度。

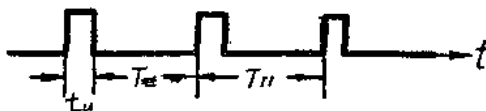


图 0-2.

脉冲过程的特点是脉冲宽度小；脉冲間隔大，也就是說，脉冲过程具有很大的間歇性：

$$Q = \frac{T_u}{t_u}. \quad (0-1)$$

Q 这个数值很大， Q 的倒数即脉冲填充系数 ξ 就很小

$$\xi = \frac{1}{Q} = \frac{t_u}{T_u}. \quad (0-2)$$

脉冲的宽度可由几秒到几个毫微秒，如在自动控制線路中，可以是几秒，而在近代物理学中，可以达到一个毫微秒(10^{-9} 秒)。在計算机中为了提高計算速度，现在已經采用几个微秒到百分之几微秒的脉冲。

当脉冲电压或电流作用在线路上的时候，由于电路具有存储能量的元件，因此产生了过渡过程，过渡过程的时间 t_{nepc} 一般相当于电路的時間常数的几倍。一般情况下， $t_{nepc} < t_u$ 。如果 $Q \gg 1$ ，線路受到序列脉冲作用，当一个脉冲开始作用时，可以认为上一个脉冲所引起的过渡过程已經平息。这样我們只研究其中一个脉冲所引起的过渡过程就够了。

对于产生脉冲序列的振荡器来讲，也有它的特点。就是在比較長的時間間隔內，逐漸地存儲能量，这样就不要求具有大功率的能源。而向負載元件釋放能量时，是在很短的時間內完成的(等于脉冲宽度)，这样就使脉冲集中了比較大的能量。因此，脉冲振荡器的功率比同样体积的連續工作状态的振荡器得到的振荡功率要大許多倍。原因是振荡器的发热情况是受到平均功率的限制，而脉冲序列的 Q 很大，平均功率很小。如：氧化物阴极的电子管，在脉冲状态工作时，其工作电压允許超过連續工作状态时容許电压的几十倍。这种情况，就使得能够采用体积不大的电子仪器，在短時間內得到强大的功率。这对国防和航空事业是有极大意义的。

§ 0-2. 脉冲的形状

脉冲的形状有很多种。如：在图 0-3 中就列举出了 1) 矩形的；2) 梯形的；3) 三角形的；4) 指数曲线形的；5) 钟形的脉冲。

当把脉冲加到一个線路上去的时候，脉冲的各个部分起着不同的作用。为了說明組成脉冲形状的这些部分，我們把脉冲形状加以理想化（图 0-4）。

图 0-4 指明了脉冲形状的几个部分：

前沿 (ab)部分；

顶部 (bb)部分；

后沿 (bc)部分；

尾部 (cd)部分。

这几个部分有一定的

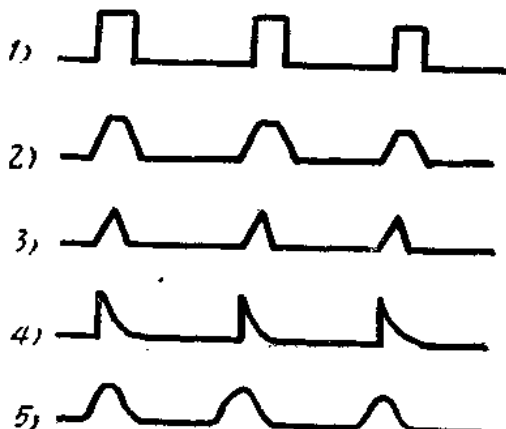


图 0-3.

物理意义。如前沿和后沿，在简单的情况下，相当于电子管的开启和关

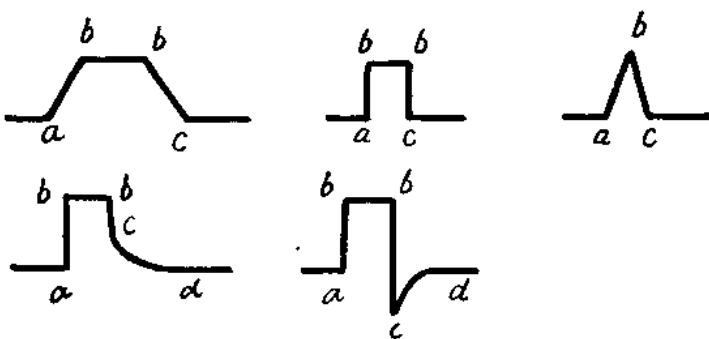


图 0-4.

閉時間;頂部相當于脈衝的主要工作部分,可以是表示電子管的開啟狀態延續時間;尾部有時是形成了脈衝裝置的恢復階段,以便過一定時間後(尾部結束時)重新形成脈衝。

脈衝的基本參數包括:

A —脈衝的最大幅度;

ΔA —脈衝頂部的下降(即傾斜);

t_{ϕ} —脈衝前沿寬度;

t_c —脈衝後沿寬度;

t_x —脈衝尾部寬度;

t_u —脈衝寬度。

下面我們就一個近似矩形的脈衝(實際上是梯形的)來說明一些參數的含義(圖 0-5)。

由圖 0-5 可以看到 A 是脈衝的最大高度,也就是脈衝幅度。整個脈衝的形狀,隨時間變化的規律

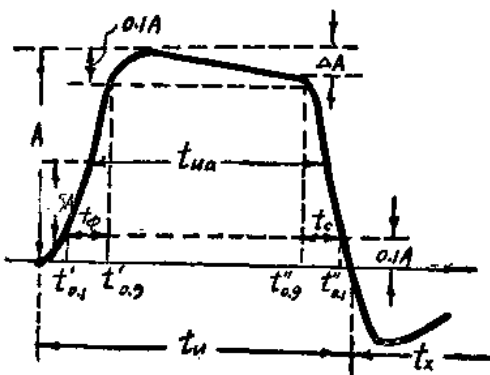


图 0-5.

以 $a(t)$ 来表示，这样就可以規定前沿和后沿宽度的含义：它們是 $a(t)$ 由 $0.1A$ 上升到 $0.9A$ 和由 $0.9A$ 下降到 $0.1A$ 所需要的时间。在图 0-5 上看来就是：

$$\begin{aligned} t_d &= t'_{0.9} - t'_{0.1}; \\ t_r &= t''_{0.1} - t''_{0.9}. \end{aligned} \quad (0-3)$$

脉冲有效宽度 t_{ea} 是 $a(t) = 0.5A$ 的两点之間的間隔。

如果用一根直線来逼近脉冲的頂部，那就可以确定 ΔA 的含义。

ΔA 是这根逼近綫段与 A 值的最大差值。

如果由于脉冲綫路內的寄生参数的作用，使得在基本的脉冲形状上，又有了附加的振蕩，这就在脉冲的頂部产生冲击量 A_s ，在尾部产生反衝量 A'_s （图 0-6）。

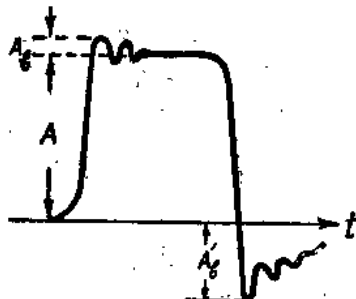


图 0-6.

§ 0-3. 脉冲技术研究的对象和应用

脉冲技术是一門技术科学，它研究的对象是获得各种形状的脉冲的方法，脉冲系統的放大和变换，这些脉冲过程的分析、計算以及脉冲綫路元件的計算、設計問題。

研究脉冲过程的方法和一系列其他电子装置、无线电装置工作过程的研究方法不同，基本差别在于脉冲过程实际上は过渡过程，而其他电子装置往往着眼于稳态过程的研究。脉冲过程往往体现为电容的电荷量的改变或者电感綫圈的电流的改变。

脉冲信号不同于正弦交流信号，后者通过綫性网络后仍然是正弦交流信号，前者即使是通过綫性网络，也会使脉冲形状发生很大改变。这种性质就使得我們可以用綫性电路来形成一定形状的脉冲信号。

形成脉冲振蕩的另外的方法是利用电子管或晶体管特性的非綫性

部分。这些电子元件往往被当作具有两个状态的电子开关：一个状态是接通——通过电流，另一状态是切断——电流截止。

脉冲技术应用的范围正在不断扩大。它推进了雷达技术、电视技术、脉冲无线电通讯和无线电导航等技术部门的发展，利用脉冲技术可以实现电码通讯，它具有很高的隐蔽性和抗干扰能力。脉冲技术被广泛地应用在无线电遥测、遥控和多路通讯技术中。

在一系列的科学部门中，例如原子物理学中，用脉冲技术的方法来进行特殊测量。

在近代快速电子计算机中，数码是用脉冲信号来表示的。运算、存取、控制等基本工作过程，实际上就是脉冲信号的传送和变换的过程。因此计算机所采用的数字元件、部件的设计、分析和实验，都要用到脉冲技术的理论和方法。对于计算机的速度和可靠性的进一步提高以及调整和运行情况的改善，脉冲技术都有着指导的意义。因此体会和掌握脉冲技术的基本原理和方法，对从事计算机的研究、设计和制造的技术工作者是不可缺少的。

掌握脉冲技术也与掌握其他科学一样，应当用理论与实际相结合的方法，事实上，由于脉冲线路实际上的复杂性，很难用理论和数学作全面的精确的描述，结论和公式大都是近似的，作了许多简化以后得出的，这就须要借助于实验的工具和方法来进行观察和研究。在实验当中观察到的现象（例如示波器中看到的波形）又需要结合理论加以分析和说明，以便找到进一步改进脉冲线路的途径。事实上，我们在设计和调试计算机元件时，也是经过了设计和调试的反复进行、反复修改的过程。

第一章 脉冲过程的数学分析方法

脉冲过程的分析包括两个方面，一方面是分析脉冲对于线路的作用的过程，一方面是分析脉冲的振荡的产生的过程。这两方面都包括着线性和非线性的两种线路类型。从数学的角度来看，线性方程和非线性方程的分析方法有很大的差别，后者的分析和研究要比前者困难和复杂得多。

一个线路要用非线性微分方程来描述，原因是线路内包含着许多非线性的元件。主要的非线性元件是运用在非线性区域的电子管或者晶体管。这种非线性特性曲线有各种不同的数学描述方法，例如一个二极管的特性曲线可以用指数函数等曲线来逼近。在工程问题上这些方法都比较复杂和不适用。为了简化分析方法而又能抓住非线性的主要特点，往往用一些直线段来逼近。这样，对组成折线的每一直线段，又可以用线性微分方程来描述。只要能找到每一段的初始条件就可以了。

例如一个三极管的板极伏安特性，可以用图 1-1 的一族折线来逼近。对于折线的每个直线段，都有一个线性方程：对于直线 1（也就是横坐标轴 U_a ）：

$$i_a = 0.$$

对于平行直线族 2：

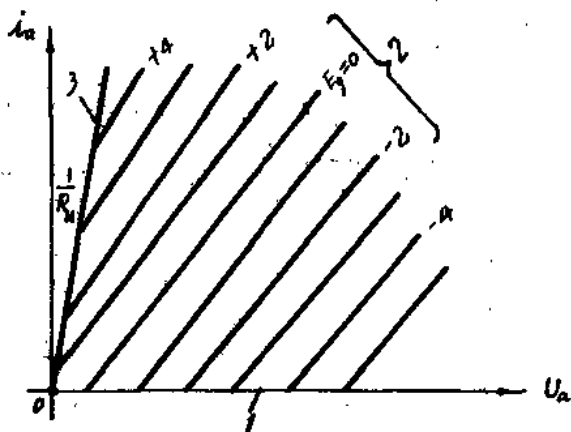


图 1-1.

$$i_a = \frac{1}{R_i} [\mu(U_g + E_g) + U_a - e_0],$$

这里 E_g 是栅偏压。

对于直線 3:

$$i_a = \frac{1}{R_a} U_a. \quad (I-1)$$

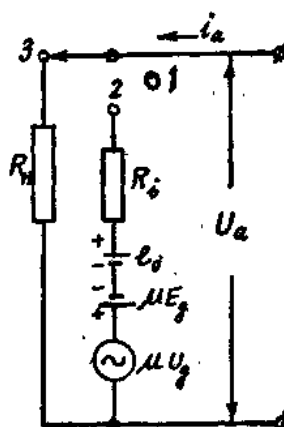


图 1-2.

因此,对于三极管,可以作出其等效線路,如图 1-2 所示。开关应当把哪一个回路閉合,要由三极管工作在哪一个区域而定。

这种用直線段来逼近特性曲綫的方法,并不是适用于任何情况的,有时还要用到图解法,或者是图解一分析法,这要視具体情况而定。

这一章的內容,只包括線性网络的脉冲過程的数学分析方法。具体的說,是經常要用到的两种数学工具: 頻譜分析和运算方法。

§ 1-1. 富氏級數和富氏积分

在数学分析教程里面我們已經知道,任意形状的周期過程(图1-3),

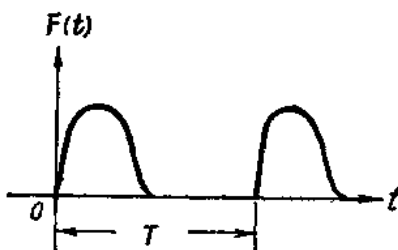


图 1-3.

都可以展开为正弦和余弦的振蕩,振蕩的頻率是周期過程的重复頻率的整数倍。这种振蕩組合为富氏級數:

$$F(t) = \frac{A_0}{2} + C_1 \cos \Omega t + C_2 \cos 2\Omega t + \dots$$

$$+ S_1 \sin \Omega t + S_2 \sin 2\Omega t + \dots \quad (1-2)$$

$A_0, C_1, C_2, \dots, S_1, S_2, \dots$ 这些系数分别为:

$$\left. \begin{aligned} A_0 &= \frac{2}{T} \int_0^T F(t) dt, \\ C_n &= \frac{2}{T} \int_0^T F(t) \cos n\Omega t dt, \\ S_n &= \frac{2}{T} \int_0^T F(t) \sin n\Omega t dt. \end{aligned} \right\} \quad (1-3)$$

上式中的 Ω 是周期性函数的基頻:

$$\Omega = 2\pi f = \frac{2\pi}{T}. \quad (1-4)$$

如果考慮到:

$$C_n \cos n\Omega t + S_n \sin n\Omega t = A_n \cos(n\Omega t - \psi_n) \quad (1-5)$$

这里

$$\left. \begin{aligned} A_n &= \sqrt{C_n^2 + S_n^2}, \\ \psi_n &= \operatorname{tg}^{-1} \frac{S_n}{C_n}. \end{aligned} \right\} \quad (1-6)$$

把(1-5)代入到(1-2)內, 得到:

$$F(t) = \frac{A_0}{2} + \sum_{n=1}^{+\infty} A_n \cos(n\Omega t - \psi_n). \quad (1-7)$$

可以把余弦表示为复指數函数的形式:

$$A_n \cos(n\Omega t - \psi_n) = \frac{A_n}{2} [e^{j(n\Omega t - \psi_n)} + e^{-j(n\Omega t - \psi_n)}]. \quad (1-8)$$

把(1-8)代到(1-7)內, 得到:

$$F(t) = \frac{1}{2} \sum_{n=-\infty}^{+\infty} A_n e^{-j\psi_n} e^{jn\Omega t}. \quad (1-9)$$

从(1-6)可以看到:

$$A_n e^{-j\psi_n} = A_n \cos \psi_n - j A_n \sin \psi_n = C_n - j S_n. \quad (1-10)$$

把(1-3)代入(1-10)内, 可以得到:

$$\begin{aligned} A_n e^{-j\psi_n} &= \frac{2}{T'} \int_0^{T'} F(t) [\cos n\Omega t - j \sin n\Omega t] dt \\ &= \frac{2}{T'} \int_0^T F(t) e^{-jn\omega t} dt. \end{aligned} \quad (1-11)$$

如果令 $\omega = n\Omega$, 并且引入

$$\dot{A}(\omega) = \int_0^T F(t) e^{-j\omega t} dt, \quad (1-12)$$

则(1-9)式可以写成:

$$F(t) = \frac{1}{T'} \sum_{\omega=-\infty}^{+\infty} \dot{A}(\omega) e^{j\omega t}, \quad (1-13)$$

$\dot{A}(\omega)$ 是个复数, 并且被称为频谱函数:

$$A(\omega) = \dot{A}(\omega) e^{-j\psi_\omega}. \quad (1-14)$$

$$\text{在上式中 } \psi_\omega = \psi_n, \quad A(\omega) = \frac{T}{2} A_n.$$

(1-13)还可写成下面的形式:

$$F(t) = \frac{\Omega}{2\pi} \sum_{\omega=-\infty}^{+\infty} \dot{A}(\omega) e^{j\omega t}. \quad (1-15)$$

这是因为根据(1-4)有:

$$\frac{1}{T'} = \frac{\Omega}{2\pi}.$$

频谱函数 $\dot{A}(\omega)$ 的模 $A(\omega)$ 称为幅频谱, 而变量 $\psi_\omega = \psi(\omega)$ 称为相频谱(图1-4)。由幅频谱和相频谱, 可以决定组成周期函数 $F(t)$ 的各次